

มหาวิทยาลัยบูรพา
Burapha University

ภาคผนวก

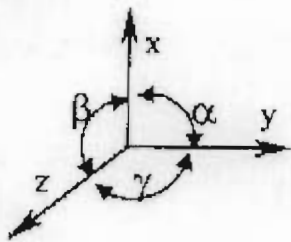
ภาควิชานวัตกรรม

การคำนวณหาค่าคงที่แล็ตทิซ (Lattice Constants) และขนาดผลึก (Crystallite Size)

การคำนวณหาค่าคงที่แลตทิซ (Lattice Constants)

โครงสร้างผลึก (Crystal Structure)

ในการศึกษาโครงสร้างผลึกที่เข้าใจง่ายขึ้นเราระบุกำหนดแกนสามมิติและมุมขึ้นภายในรูปผลึกซึ่งมีอะตอมอยู่ตามเหลี่ยมมุมต่าง ๆ ในพิกัด 3 มิติ (ภาพที่ ก-1 ประกอบ) โดยให้



a, b, c เป็นระยะห่างระหว่างอะตอม เรียกว่า สเปซแลตทิซ (Space lattice)
มีหน่วยเป็นแองกstrom (\AA) โดยที่ $1 \text{ Angstrom} = 10^{-10} \text{ m}$.

x, y, z เป็นแกนสามมิติอ้างอิงโดยมีจุดกำเนิด O (Origin) อยู่ตรงตำแหน่ง
อะตอมหนึ่งของแนวเชลล์หนึ่งเรียกว่า แลตทิซเวคเตอร์ (Lattice vector)
 α, β, γ เป็นมุมที่เกิดขึ้นภายในผลึกอยู่ระหว่างแกน x, y, z

ภาพที่ ก-1 แกนสามมิติและมุมขึ้นภายในรูปผลึก

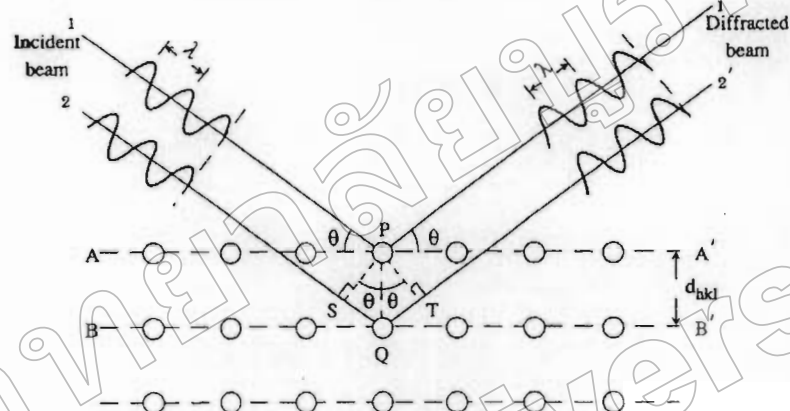
สเปซแลตทิซ (Space Lattice) มีอยู่ทั้งหมด 230 แบบด้วยกัน แต่จะสรุปลงเหลือเพียง 14 แบบ
ใหญ่ ๆ ด้วยกันและมีรูปแบบที่สอดคล้องกับโครงสร้างระบบผลึก (Crystal structure) ได้ 7 ระบบ
ด้วยกันคือ

1. ไตรคลินิก (Triclinic) แกนทั้ง 3 แกนยาวไม่เท่ากัน แกนทั้ง 3 แกนทำมุมไม่เท่ากัน และไม่ตั้งฉากกัน
2. โมโนคลินิก (Monoclinic) แกนทั้ง 3 แกนยาวไม่เท่ากัน มีแกน 2 แกนที่จะทำมุมตั้งฉากกัน แต่แกนที่ 3 ไม่ตั้งฉาก
3. ออร์โทโรमบิก (Orthorhombic) หรือ โอลัมบิก (Rhombic) แกนทั้ง 3 แกนยาวไม่เท่ากัน แต่ทุกแกนจะทำมุมตั้งฉากกันและกัน
4. เตตราgonal (Tetragonal) มีแกน 2 แกนยาวเท่ากันแต่อีกแกนหนึ่งจะสั้น หรือ
บางกว่า แกนทั้ง 3 แกน ทำมุมตั้งฉากกันและกัน
5. รhombohedral (Rhombohedral) แกนทั้ง 3 แกนยาวเท่ากัน แกนทั้ง 3 แกน
ทำมุมเท่ากัน แต่ทั้ง 3 มุมไม่เป็น 90 องศา
6. เฮกต้าgonal (Hexagonal) มีแกน 3 แกนอยู่ในแนวระนาบ (Plane) ทำมุมภายใน
เท่ากับ 120 องศา ต่อกัน แกนที่ 4 ทำมุม 90 องศา กับแนวระนาบ (Plane) แกน 3 แกนแรกจะเท่ากัน
แต่จะไม่เท่ากับแกนที่ 4
7. คิวบิก (Cubic) แกนทั้ง 3 แกนยาวเท่ากันและตั้งฉากซึ่งกันและกัน

ระบบผลึก	ແລຕທີ່				
ໄຕຣຄລິນິກ (triclinic)	$\alpha, \beta, \gamma \neq 90^\circ$				
ໄນໂນຄລິນິກ (monoclinic)	simple 	centered 			
ອອຣໂໂຮຣອມບົກ (orthorhombic)	simple 	base-centered 	body-centered 	face-centered 	
ເຂກະໂກນອດ (hexagonal)	$a \neq c$ 				
ຮອມໄນສີຄວັດ (rhombohedral) (trigonal)	$\alpha, \beta, \gamma \neq 90^\circ$ 				
ເຕຕະໂກນອດ (tetragonal)	simple 	body-centered 			
ຄົວບົກ (isometric)	simple 	body-centered 	face-centered 		

โดยปกติแล้วเซอร์ โคงเนียมออกไซด์บริสุทธิ์มีโครงสร้างผลึกแบบโมโนคลินิก เดครัต โภนอด คิวบิก และ อตัมสูน ในงานวิจัยนี้พบว่าพิล๊มบางเซอร์ โคงเนียมออกไซด์ที่เคลือบด้วยระบบ รีแอคติฟ ดิซี เมกนีตรอน สปัตเตอริง มีโครงสร้างผลึกแบบโมโนคลินิก

กฎของแบรกค์ (Bragg's law)



ภาพที่ ก-2 แบบจำลองการเรียงตัวของอะตอม

$$2d_{hkl} \sin \theta = n\lambda \quad (\text{ก-1})$$

เมื่อ d_{hkl} เป็นระยะห่างระหว่างระนาบผลึก ($h k l$)

θ เป็นมุมตักษะทบทและมุมสะท้อน เมื่อวัดจากแนวระนาบ (ในหน่วย radians)

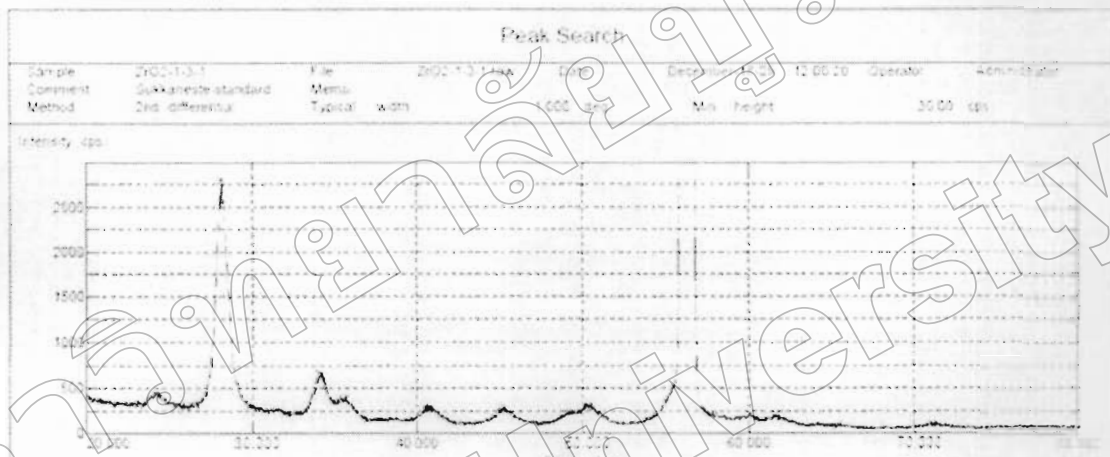
n ลำดับการสะท้อน

λ ความยาวคลื่น ($\lambda = 1.5406 \text{ \AA}$)

สูตรคำนวณระยะห่างระหว่างระนาบในระบบผลึกแบบโนโนคลินิก

$$\text{monoclinic; } \frac{1}{d_{hkl}^2} = \frac{1}{\sin^2 \beta} \left(\frac{h^2}{a^2} + \frac{k^2 \sin^2 \beta}{b^2} + \frac{l^2}{c^2} - \frac{2hl \cos \beta}{ac} \right) \quad (\text{n-2})$$

ตัวอย่าง ก-1 การคำนวณหาระยะห่างระหว่างระนาบผลึก (d -spacing) ที่ระบุมาด้านล่าง



ภาพที่ ก-3 รูปแบบการเลี้ยวเบนรังสีเอกซ์ของฟิล์มบางเชอร์โโคเนียมออกไซด์

ตารางที่ ก-1 รูปแบบการเลี้ยวเบนรังสีเอกซ์ของฟิล์มบางเชอร์โโคเนียมออกไซด์

No.	2 Theta	Intensity	$h k l$	d -spacing
1	24.140	432	0 1 1	3.6823
2	28.140	2810	1 1 1	3.1673
3	34.060	657	0 0 2	2.6291
4	35.540	378	1 0 2	2.5230
5	50.280	293	1 2 2	1.8125

1. หาระยะห่างระหว่างระนาบผลึกที่ระนาบต่าง ๆ

กำหนด $\lambda = 1.5406 \text{ \AA}$; นุ่ม θ หน่วยเป็น เ雷เดียน
แทนค่า $\sin \theta$ ในหน่วย雷เดียน ในสมการที่ ก-1 จะได้ d -spacing ที่ระนาบต่าง ๆ ดังนี้

$$2d_{hkl} \sin \theta = n\lambda \quad (\text{ก-1})$$

ที่ m (011);	d_{hkl}	=	3.6823
ที่ m ($\bar{1}11$);	d_{hkl}	=	3.1673
ที่ m (002);	d_{hkl}	=	2.6291
ที่ m ($\bar{1}02$);	d_{hkl}	=	2.5230

2. หาค่าคงที่ (Latice Constant)

monoclinic; $\frac{1}{d_{hkl}^2} = \frac{1}{\sin^2 \beta} \left(\frac{h^2}{a^2} + \frac{k^2 \sin^2 \beta}{b^2} + \frac{l^2}{c^2} - \frac{2hl \cos \beta}{ac} \right)$

ที่ m (011); $\frac{1}{(3.6823)^2} = \frac{1}{\sin^2 \beta} \left(\frac{(0)^2}{a^2} + \frac{(1)^2 \sin^2 \beta}{b^2} + \frac{(1)^2}{c^2} - \frac{2(0)(1)\cos \beta}{ac} \right)$

$$0.0737 = \frac{1}{\sin^2 \beta} \left(\frac{\sin^2 \beta}{b^2} + \frac{1}{c^2} \right)$$

$$0.0737 = \frac{1}{b^2} + \frac{1}{c^2 \sin^2 \beta} \quad (\text{ก-1})$$

$$\text{for } \bar{m}(\bar{1}11); \quad \frac{1}{(3.1673)^2} = \frac{1}{\sin^2 \beta} \left(\frac{(-1)^2}{a^2} + \frac{(1)^2 \sin^2 \beta}{b^2} + \frac{(1)^2}{c^2} - \frac{2(-1)(1)\cos \beta}{ac} \right)$$

$$0.0997 = \frac{1}{\sin^2 \beta} \left(\frac{1}{a^2} + \frac{\sin^2 \beta}{b^2} + \frac{1}{c^2} + \frac{2\cos \beta}{ac} \right) \quad (n-2)$$

$$0.0997 = \frac{1}{a^2 \sin^2 \beta} + \frac{1}{b^2} + \frac{1}{c^2 \sin^2 \beta} + \frac{2\cos \beta}{ac \sin^2 \beta} \quad (n-2)$$

$$\text{for } \bar{m}(002); \quad \frac{1}{(2.6291)^2} = \frac{1}{\sin^2 \beta} \left(\frac{(0)^2}{a^2} + \frac{(0)^2 \sin^2 \beta}{b^2} + \frac{(2)^2}{c^2} - \frac{2(0)(2)\cos \beta}{ac} \right)$$

$$0.1447 = \frac{1}{\sin^2 \beta} \left(\frac{4}{c^2} \right)$$

$$\frac{4}{c^2 \sin^2 \beta} = 0.1447$$

$$\frac{1}{c^2 \sin^2 \beta} = \frac{0.1447}{4}$$

$$\frac{1}{c^2 \sin^2 \beta} = 0.0362 \quad (n-3)$$

$$\frac{1}{\sin^2 \beta} = 0.0362 c^2 \quad (n-4)$$

แทนสมการ ก-3 ลงในสมการที่ ก-1 จะได้

$$0.0737 = \frac{1}{b^2} + 0.0362$$

$$\frac{1}{b^2} = 0.0737 - 0.0362$$

$$\frac{1}{b^2} = 0.0375$$

$$b^2 = \frac{1}{0.0375} = 26.67$$

$$\therefore b = 5.164 \text{ \AA}$$

$$\frac{1}{(2.5230)^2} = \frac{1}{\sin^2 \beta} \left(\frac{(-1)^2}{a^2} + \frac{(0)^2 \sin^2 \beta}{b^2} + \frac{(2)^2}{c^2} - \frac{2(-1)(2)\cos \beta}{ac} \right)$$

$$0.1571 = \frac{1}{\sin^2 \beta} \left(\frac{1}{a^2} + \frac{4}{c^2} + \frac{4\cos \beta}{ac} \right)$$

$$0.1571 = \frac{1}{a^2 \sin^2 \beta} + \frac{4}{c^2 \sin^2 \beta} + \frac{4\cos \beta}{ac \sin^2 \beta} \quad (\text{ก-5})$$

แทน $\frac{1}{b^2} = 0.0375$ ลงในสมการที่ ก-2 จะได้

$$0.0997 = \frac{1}{a^2 \sin^2 \beta} + 0.0375 + \frac{1}{c^2 \sin^2 \beta} + \frac{2\cos \beta}{ac \sin^2 \beta}$$

$$0.0622 = \frac{1}{a^2 \sin^2 \beta} + \frac{1}{c^2 \sin^2 \beta} + \frac{2\cos \beta}{ac \sin^2 \beta} \quad (\text{ก-6})$$

นำ (ก-5) - (ก-6) จะได้

$$0.0949 = \frac{3}{c^2 \sin^2 \beta} + \frac{2 \cos \beta}{ac \sin^2 \beta} \quad (\text{ก-7})$$

แทนสมการ ก-3 ลงในสมการที่ ก-7 จะได้

$$0.0949 = 3(0.0362) + \frac{2 \cos \beta}{ac \sin^2 \beta}$$

$$0.0949 = 0.1086 + \frac{2 \cos \beta}{ac \sin^2 \beta}$$

$$\frac{2 \cos \beta}{ac \sin^2 \beta} = 0.0949 - 0.1086$$

$$\frac{2 \cos \beta}{ac \sin^2 \beta} = -0.0137 \quad (\text{ก-8})$$

แทนสมการ ก-3 และ ก-8 ลงในสมการที่ ก-6 จะได้

$$0.0622 = \frac{1}{a^2 \sin^2 \beta} + 0.0362 - 0.0137$$

$$\frac{1}{a^2 \sin^2 \beta} = 0.0622 - 0.0362 + 0.0137$$

$$\frac{1}{a^2 \sin^2 \beta} = 0.0397$$

$$\frac{1}{\sin^2 \beta} = 0.0397 a^2 \quad (\text{ก-9})$$

$$(n-9) = (n-4); \quad 0.0397 a^2 = 0.0362 c^2$$

$$a^2 = \frac{0.0362 c^2}{0.0397} = 0.912 c^2$$

$$a = 0.955 c$$

(n-10)

แทนสมการ ก-10 ลงในสมการที่ ก-8 จะได้

$$\frac{2 \cos \beta}{(0.955 c) c \sin^2 \beta} = -0.0137$$

$$\frac{2 \cos \beta}{0.955 c^2 \sin^2 \beta} = -0.0137$$

$$\frac{2.094 \cos \beta}{c^2 \sin^2 \beta} = -0.0137$$

(n-11)

แทนสมการ ก-3 ลงในสมการที่ ก-11 จะได้

$$2.094 \cos \beta (0.0362) = -0.0137$$

$$0.076 \cos \beta = -0.0137$$

$$\cos \beta = \frac{-0.0137}{0.076}$$

$$\cos \beta = -0.18$$

$$\therefore \beta = \cos^{-1}(-0.18) = 1.752 \text{ เรเดียน}$$

$$\sin \beta = 0.984$$

$$\sin^2 \beta = 0.968 \quad (\text{n-12})$$

แทนสมการ ก-12 ลงในสมการที่ ก-3 จะได้

$$\frac{1}{c^2(0.968)} = 0.0362$$

$$c^2 = \frac{1}{(0.0362)(0.968)} = 28.538$$

$$c = 5.342 \text{ \AA}$$

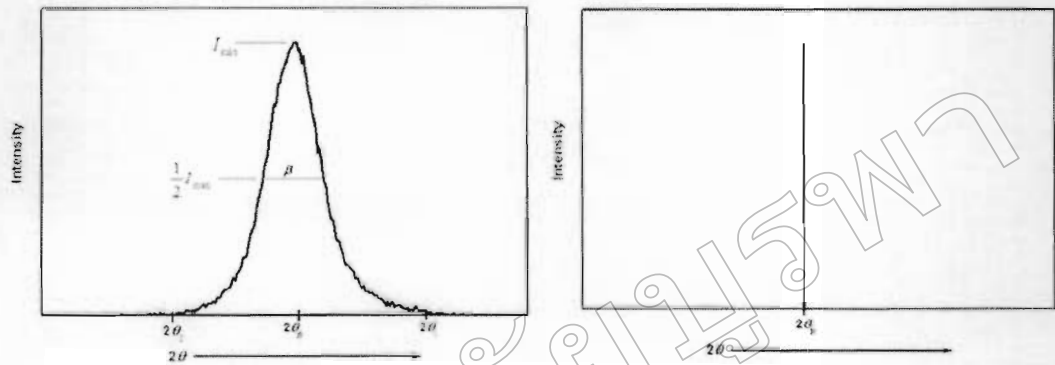
แทน c ในสมการ ก-10 จะได้

$$a = 0.955 c$$

$$a = 0.955(5.342)$$

$$\therefore a = 5.102 \text{ \AA}$$

การคำนวณขนาดผลึก (Crystallite size)



ภาพที่ ๗-๔ Effect of crystallite size on diffraction curves (schematic)(Cullity, 1978)

$$\text{Seherrer Equation} \quad L = \frac{k\lambda}{\beta \cos \theta_\beta} \quad (\text{ก}-13)$$

L คือ ขนาดของผลึกฟิล์มบางเชอร์โคเนียมออกไซด์ หน่วย นาโนเมตร (nm)

k คือ ค่าคงที่เท่ากับ 0.9

λ คือ ความยาวคลื่นของรังสีเอกซ์ ($\text{CuK}_\alpha = 1.5406 \text{ \AA}$)

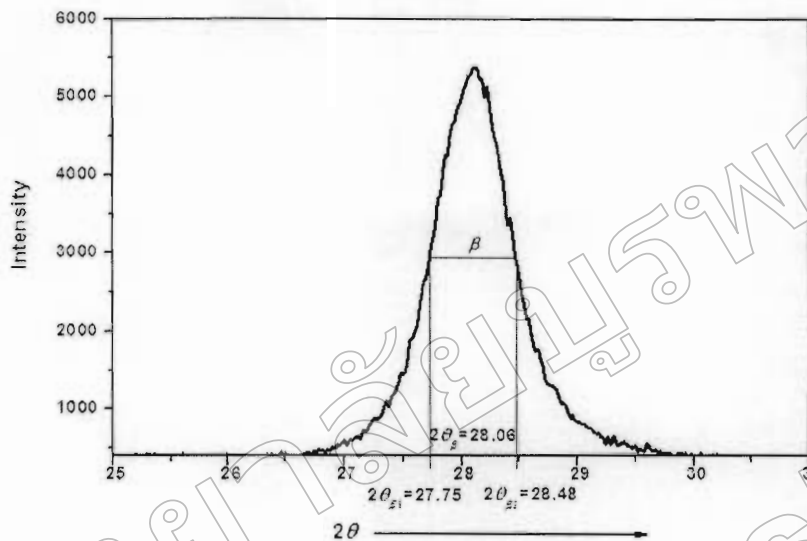
θ คือ ครึ่งหนึ่งของมุมตรงข้ามศูนย์กลางพีก หน่วย เรเดียน

β คือ ความกว้างครึ่งหนึ่งของพีกที่มีค่าความเข้มสูงสุด

(Full width at half maximum; FWHM) ซึ่งคำนวณได้จากสมการ ก-14

$$\beta = \frac{2\theta_{\beta 2} - 2\theta_{\beta 1}}{2} \quad (\text{ก}-14)$$

ตัวอย่าง ก-2 การคำนวณขนาดผลึก



ภาพที่ ก-5 การหาความกว้างครึ่งหนึ่งของพีกที่มีค่าความเข้มสูงสุด
วิธีคำนวณ หาค่า β จากสมการ ก-14

$$\beta = \frac{2\theta_{\beta_2} - 2\theta_{\beta_1}}{2}$$

$$\beta = \frac{28.48 - 27.75}{2} = 0.006 \text{ เรเดียน}$$

นำค่า β แทนในสมการ ก-13 จะได้

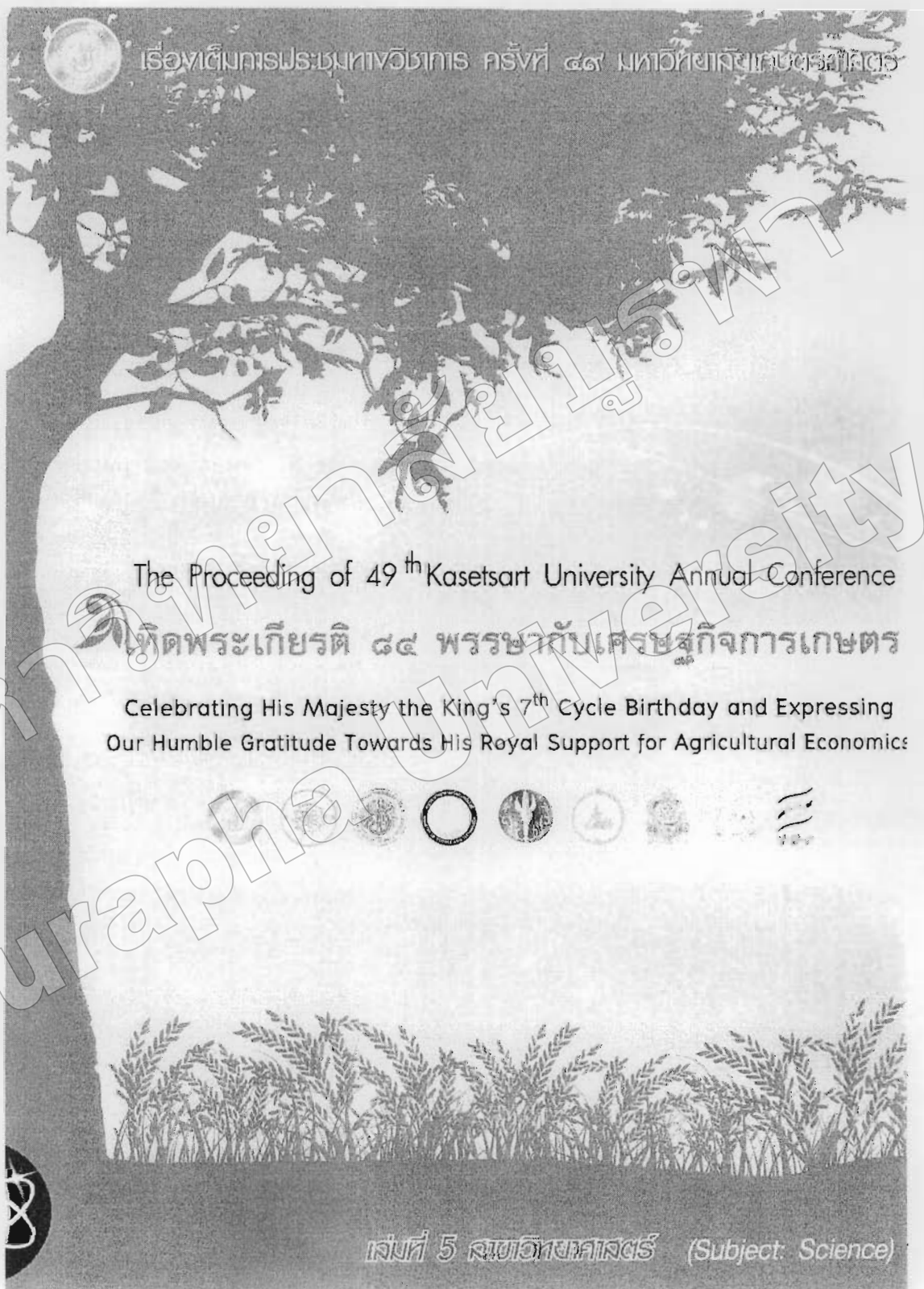
$$L = \frac{k\lambda}{\beta \cos \theta_\beta} ; \cos \theta_\beta = 0.97 \text{ เรเดียน}$$

$$L = \frac{(0.9)(0.15406 \text{ nm})}{(0.006)(0.97)} = 20.46 \text{ nm}$$

ดังนั้น ผลึกมีขนาดเท่ากับ 20.46 nm

ภาคผนวก ๖
ผลงานวิจัยที่ได้รับการตีพิมพ์เผยแพร่

มหาวิทยาลัยบูรพา
Burapha University



ผลของการอัดร้าในหลังสือออกซิเจนต่อโครงสร้างและสมบัติทางแสงของ
พิล์มบางเชอร์โคเนียมออกไซด์ที่เคลือบด้วยวิธี ดีซี รีแอคติฟ แมกนีตرون ลับปัตเตอริง
Effect of O₂ Gas Flow Rate on Structure and Optical Properties of
ZrO₂ Thin Film Deposited by DC Reactive Magnetron Sputtering

จินดาวรรณ ธรรมพรีชา^{1,*}, นิรันดร์ วิศิษฐ์นันต์¹ และ สุรัศน์ ไชยคุณ¹
Jindawan Thammapreecha^{1,*}, Nirun Wits-anun¹ and Surasing Chaiyakun¹

บทคัดย่อ

งานวิจัยนี้เคลือบพิล์มบ้ามออกไซด์โดยใช้วิธี DC reactive magnetron sputtering บนกระจกและแผ่นเซลิคอน ด้วยวิธี ดีซี รีแอคติฟ แมกนีตرون ลับปัตเตอริง เพื่อศึกษาผลของการอัดร้าในหลังสือออกซิเจนต่อโครงสร้างและสมบัติทางแสงของพิล์ม แล้วนำพิล์มนี้มาถ่ายเคราร์น์ต์ด้วย XRD, AFM และสเปกตรอกูลไฟฟ้า DC reactive magnetron sputtering ทดสอบค่าคงที่เคลือบได้มีโครงสร้าง monoclinic เป็นลักษณะ ZrO₂ 328 nm ถึง 458 nm ความกว้างขวาง (R_w) ในช่วง 3.1 nm ถึง 4.4 nm พิล์มนี้เคลือบได้มีค่าการซึมผ่านและสูงคลอดช่วงความยาวเหยียดสีสันเพียงพอที่จะโดยที่ความยาวคลื่นแสง 550 nm มีค่าดัชนีหักเห (n) ประมาณ 2.0 และค่าลึมประดิษฐ์ของดัชนีสูญ (k) อยู่ในช่วง 0.0007 ถึง 0.0021 ของค่าแบบพื้นฐาน (E_g) มีค่าประมาณ 4.18 eV

Abstract

Zirconium oxide (ZrO₂) thin films were deposited on glass slides and silicon wafer by DC reactive magnetron sputtering method. The effect of oxygen gas flow rates on crystalline structure and optical properties of the films were investigated. The films were characterized by XRD, AFM and spectrophotometer. The results show that the ZrO₂ films were monoclinic crystalline structure. The films thickness range was from 328 nm to 458 nm and surface roughness (R_w) was within 3.1 nm to 4.4 nm. The films showed high transmittance in visible and near-IR range. The wavelength was 550 nm with refractive index (n) of approximately 2.0 and extinction coefficient (k) ranging from 0.0007 to 0.0021. In addition, energy band gap (E_g) was approximately 4.18 eV.

Keyword : Zirconium oxide thin film, reactive sputtering, optical constants, Swanepoel method

Email : eang_jj@hotmail.com

ภาควิชาฟิสิกส์ คณะวิทยาศาสตร์ มหาวิทยาลัยบูรพา ชลบุรี 20131

Department of Physics, Burapha University, Chonburi 20131

* ห้องปฏิบัติการวิจัยพิษภัยเคมีฯ มหาวิทยาลัยบูรพา

สำนักพัฒนาบัณฑิตศึกษาและวิจัยด้านวิทยาศาสตร์และเทคโนโลยี สำนักงานคณะกรรมการการอุดมศึกษา

โทรศัพท์ 038-103-084 โทรสาร 038-103-084

Plasma for Surface Sciences Laboratory, Thailand Center of Excellence in Physics

Science and Technology Postgraduate Education and Research Development Office (PERDO), CHE

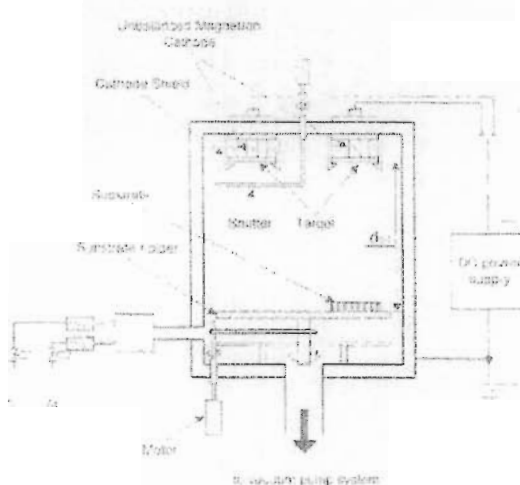
Tel. 038-103-084 Fax: 038-103-084

อุปกรณ์และวิธีการวิจัย

พิสูจน์เครื่องเคลือบไฮด์ริดในงานวิจัยนี้ได้รับมาตรฐาน คือ รัตนศักดิ์ เมฆานันดรอน สถาบันเทคโนโลยีไทย-ญี่ปุ่น ที่ 1 ซึ่งมีผู้ออกแบบและทดสอบโดยนักวิจัย ขนาดเส้นผ่าศูนย์กลาง 310.0 mm ซึ่ง 370.0 mm โดยติดปืนหอยท่อเมฆา (99.97%) ขนาดเด่นอย่างสูงถึง 54.0 mm ที่ด้านหลังหัวหอก ภาคซ้ายมีไฟฟ้าบริการซุ้มห้องเครื่อง เทียบเท่าเครื่องห้องเครื่องห้องแม่เหล็กไฟฟ้า (99.999%) และแก๊สออกไซด์เจือกความเร็วสูง (99.999%) เป็นแก๊สที่สำคัญและมีประสิทธิภาพตามลำดับ โดยระบบแก๊สร่องสูบห้องแม่เหล็กไฟฟ้า (99.999%) ประกอบด้วยเครื่องสูบแม่เหล็กไฟฟ้าและเครื่องสูบกลไกที่รับปืนแก๊สห้องท่อห้องแม่เหล็กไฟฟ้าในห้องเคลือบวัสดุตัวอย่างที่ร่องสูบแม่เหล็กไฟฟ้าและเครื่องสูบกลไกที่รับปืนแก๊สห้องท่อห้องแม่เหล็กไฟฟ้าในห้องเคลือบวัสดุตัวอย่างความดันของ balzers คือ TPG300 พร้อมหัวหอกพิเศษ TPR010 และหัวรัดเพนนิ่งรุ่น IKR050 สามารถแก๊สที่ไม่สามารถเคลือบสำหรับห้องแม่เหล็กไฟฟ้าห้องแม่เหล็กไฟฟ้า (mass flow controller) ของ MKS type247D ก่อนเคลือบบทกริ่งที่จะทำการดูดห้องเป้าสู่ห้องเคลือบ โดยใช้วัสดุเดียวกันน้ำเป้าการเคลือบ (pre sputtering) ประมาณ 3นาที โดยปีติแห่งเมือง (ห้องเผา) ที่ต้องห้องเป้าการเคลือบก่อนที่จะห้องเผา

ขั้นตอนการเคลือบเงินจากห้องแม่เหล็กไฟฟ้า และเม่นวิลลิกัน เข้าสู่ห้องเคลือบสูญญากาศ ซึ่งใช้เวลา 10 นาที นำห้องเผาสู่ห้องเคลือบห่างกัน 8 cm ลดความดันในห้องเผาให้ได้ความดันเพียง 5.0×10^{-3} torr แล้วปิดช่องแก๊สเข้าสู่ห้องแม่เหล็กไฟฟ้า ให้แก๊สตัวรักษาห้องเผาที่ห่างกัน 1 sccm และเปิดช่องแก๊สออกไซด์เจือกความเร็วสูง 2 sccm, 4 sccm, 6 sccm โดยยกห้องแม่เหล็กไฟฟ้าให้สูงเพียง 5×10^{-3} mbar ใช้กำลังไฟฟ้าห้องเคลือบคงที่เท่ากับ 180 W นาน 2 ชั่วโมง

พิสูจน์เครื่องเคลือบไฮด์ริดที่เคลือบได้ทั้งหมดจะนำไปที่ห้องดูดซับสีกัตตวยเกลือกอัลตราไวโอเล็ต สีเอ็กซ์ (X-ray Diffractometer; XRD) ทั้งวัสดุที่ 20-scan ด้วยมุมต่อกระดาษเจี้ยง (Glazing incident angle) คงที่เพียง 3° ในขณะที่ 2θ=40°-20° ถึง 65° ศักยภาพของห้องแม่เหล็กไฟฟ้าของพิสูจน์ตัวอย่างจะทดสอบด้วยไมโครไทร์ (Atomic Force Microscope; AFM) และวัดค่าการสั่นผ่านแสงด้วยเครื่องชนวนไฟฟ์ (Fiber Optic Spectrometer) ทดสอบค่าการดูดซับสูญญากาศ (g) ตามที่บันทึกโดย Swanson (1983) คาดคะเนว่าจะดูดซับได้ประมาณ 20%

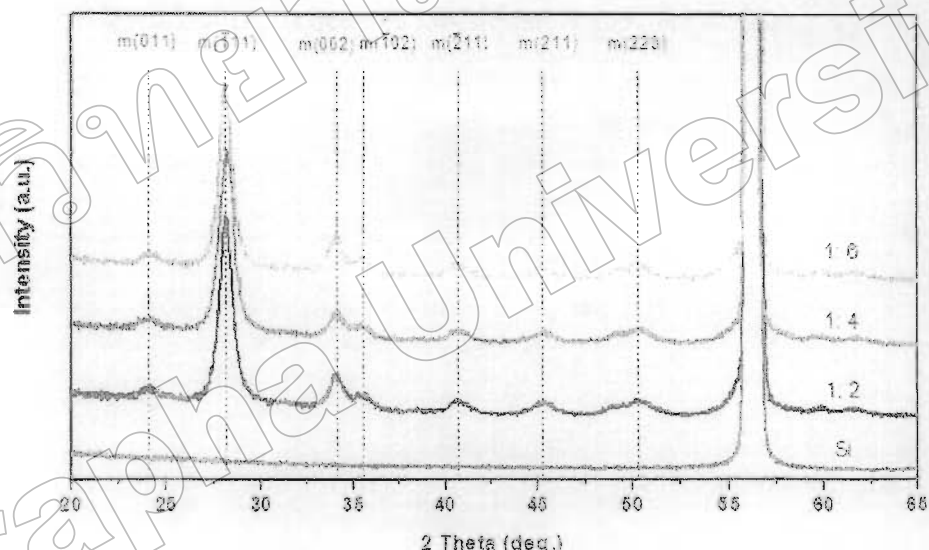


รูปที่ 1 โครงสร้างเครื่องเคลือบในสูญญากาศแบบตีนรัตนศักดิ์ เมฆานันดรอน สถาบันเทคโนโลยีไทย-

ผลการวิจัยและวิจารณ์

โครงสร้างผลึกของฟิล์มเชอร์โค้ตโดยใช้มอคอกไฮด์

รูปที่ 2 แสดงรูปแบบการเลือยงานรังสีเอกซ์ของฟิล์มเชอร์โค้ตโดยใช้มอคอกไฮด์ ต่างๆ พบว่าฟิล์มที่เทคซ์โนได้ห้าหมดมีรูปแบบการเลือยงานรังสีเอกซ์เหมือนกันทุกประการ โดยพารามิเตอร์ การเลือยงานรังสีเอกซ์ที่มุ่ง 24.05° , 28.17° , 34.14° , 35.88° , 40.70° , 45.49° และ 50.09° ซึ่งตรงกับรูปแบบ การเลือยงานรังสีเอกซ์ของสารประกอบเชอร์โค้ตตามมาตรฐาน JCPDS (เลขที่ 78-1807) ที่มีโครงสร้างผลึกแบบโมโนคลินิก ระบุเป็น (011) , $(1\bar{1}1)$, (002) , $(\bar{1}02)$, $(\bar{2}\bar{1}1)$, (211) และ (220) ตามลำดับ โดยที่มุ่ง 28.17° มีความเข้มของพื้นที่สูงสุด สอดคล้องกับงานเดียวกันของ Zholo *et al.* (2008) ซึ่งพบว่า ฟิล์มเชอร์โค้ตโดยใช้มอคอกไฮด์ที่เคลือบบนแผ่นอลูมิเนียมมีโครงสร้างผลึกแบบโมโนคลินิก ระบุเป็น $(1\bar{1}1)$ ที่มีความเข้ม ของรูปแบบการเลือยงานรังสีเอกซ์ที่มุ่ง 28.17° เป็นอย่างสูงที่สุด ที่สืบเนื่องจากรูปแบบ



รูปที่ 2 รูปแบบการเลือยงานรังสีเอกซ์ของฟิล์มเชอร์โค้ตโดยใช้มอคอกไฮด์ที่หัดไว้ในลักษณะอิฐเมืองต่างๆ

ลักษณะพื้นผิว และความหนาของฟิล์มเชอร์โค้ตโดยใช้มอคอกไฮด์

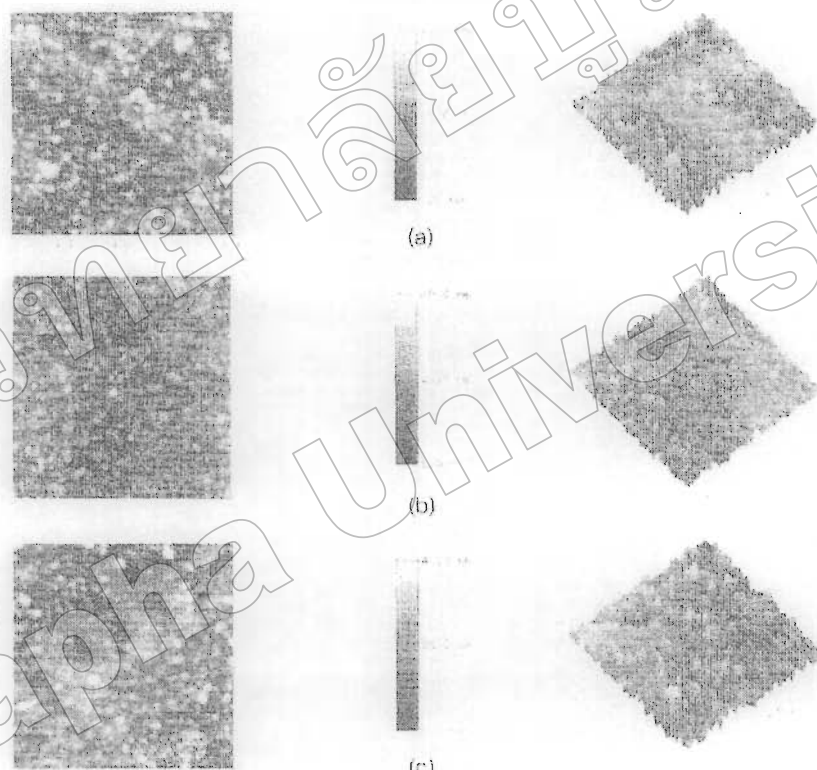
รูปที่ 3 แสดงสักรูปแบบที่หันมือแบบ 2 มิติ และ 3 มิติ ของฟิล์มเชอร์โค้ตโดยใช้มอคอกไฮด์ เทคซ์โนได้หัดไว้ในลักษณะอิฐเมืองต่างๆ จากเทคโนโลยี AFM พบว่าพื้นผิวน้ำของฟิล์มนีกานานต่อการนวดเป็นแท่งปลาญนหลุม เส้นผ่าศูนย์กลาง 5 μm ที่หัวก้านกระยะอยู่ที่หัวพื้นผิวน้ำของฟิล์มเท่านั้นก้านทุกเส้นนั้นไป ล้ำร่องความหนา และความหนาของฟิล์มพับด้วยมือเพิ่มอัตราในลักษณะอิฐเมืองต่างๆ จาก 2 sccm เป็น 4 sccm (มีอัตราในลักษณะอิฐเมืองต่างๆ เพิ่มเป็น 1 sccm) ฟิล์มที่เคลือบได้มีความหนา และความหนาของฟิล์มลดลง และเพิ่มขึ้นเมื่ออัตราในลักษณะอิฐเมืองต่างๆ เพิ่มเป็น 6 sccm สอดคล้องกับงานวิจัยของ Choi *et al.* (2005) (ตารางที่ 1)

การประชุมทางวิชาการของมหาวิทยาลัยเกษตรศาสตร์ ครั้งที่ 49

พยาบาลศาสตร์

ตารางที่ 1 ความหนาและความหยาบของฟิล์มเมซิริคเป็นผลจากไนต์ที่คล้ำในสเกลอกซ์เจนต่าฯ

อัตราไนต์ที่สกัดจากน้ำมันดีเซลของไนต์เจน (scm)	ความหนา (nm)	ความหยาบผิว (nm)
1 : 2	458	4.4
1 : 4	328	3.1
1 : 6	376	4.3

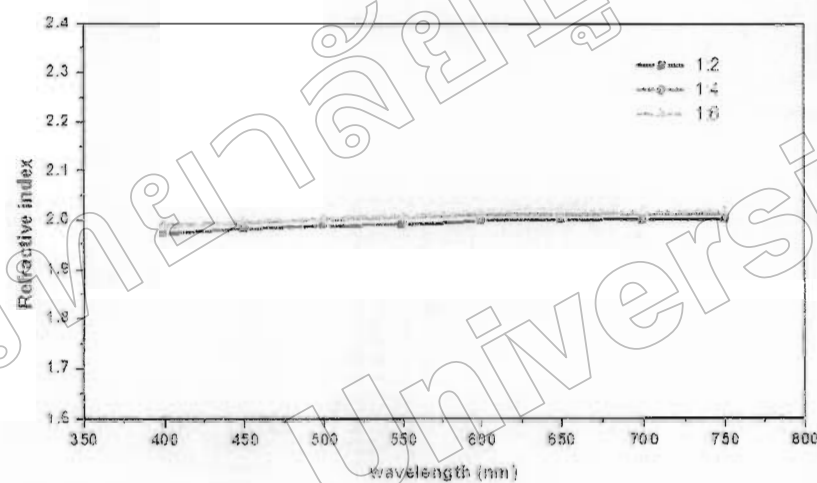


รูปที่ 3 ลักษณะพื้นผิวจากเทคโนโลยี AFM ของฟิล์มเมซิริคเป็นผลจากไนต์ที่คล้ำในสเกลอกซ์เจนต่าฯ

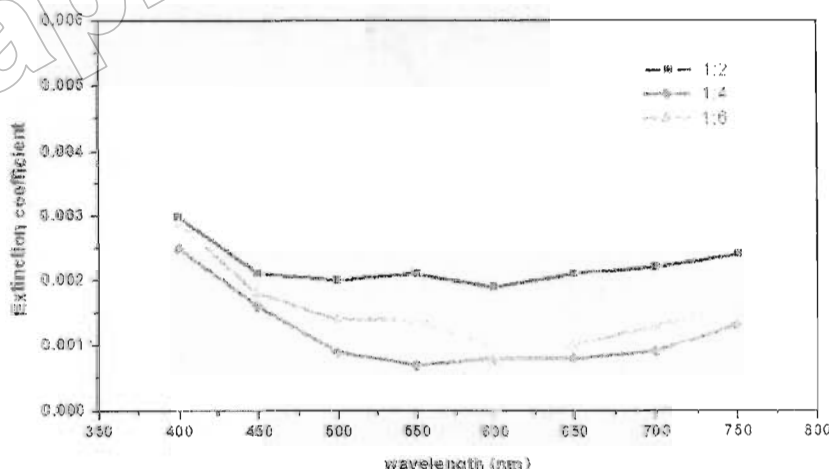
(a) 1:2, (b) 1:4, (c) 1:6.

สมบัติทางแสงและค่าคงที่ทางแสงของพิล์มเซลฟ์รีโคเนียมออกไซด์

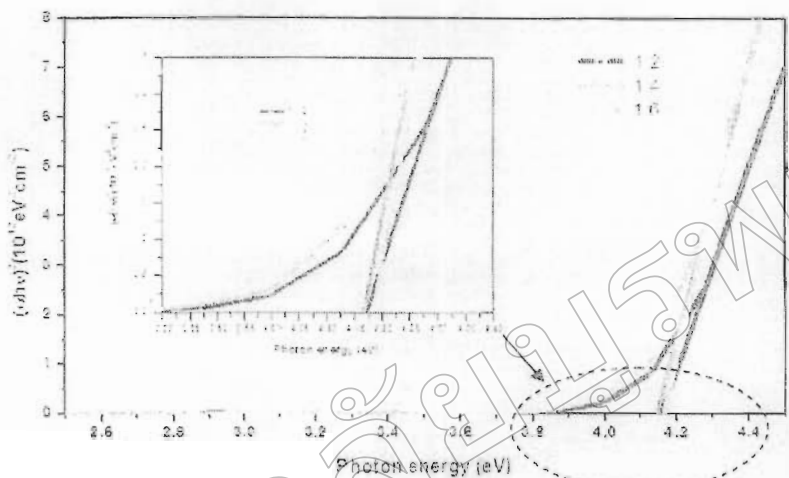
พิล์มเซลฟ์รีโคเนียมออกไซด์ที่เคลือบได้มีค่าการส่งผ่านแสงสูงที่สุดในช่วงความถี่เดียวกับพลาสติกสีฟ้าหรือค่าตัวเรืองแสง (k) และค่าปรับสีที่การตอบสนอง (k) หาได้จากวิธี Swanepoel โดยใช้ข้อมูลจากเดือนกันยายน การส่งผ่านแสงมากำหนด พบร้าที่ค่าความยาวคลื่นแสง 550 nm พิล์มเซลฟ์รีโคเนียมออกไซด์เคลือบได้มีค่าตัวเรืองแสง (k) ประมาณ 2.0 สำหรับพลาสติกรีโคเนียมออกไซด์ ส่วนค่าสัมประสิทธิ์การตอบสนอง (k) พบร้าเมื่อเพิ่มค่าราโนลิกแก๊สออกไซเดนจาก 2 sccm เป็น 4 sccm ค่าสัมประสิทธิ์การตอบสนอง (k) ลดลงจาก 0.0021 เป็น 0.0007 แต่เมื่อเพิ่มค่าราโนลิกแก๊สออกไซเดนเป็น 6 sccm ค่าสัมประสิทธิ์การตอบสนอง (k) มีค่าเพิ่มขึ้นเป็น 0.0014



รูปที่ 4 ค่าตัวเรืองแสงของพิล์มเซลฟ์รีโคเนียมออกไซด์ที่ขัดตราไนโตรเจนต่างๆ



รูปที่ 5 ค่าสัมประสิทธิ์การดับเสียงของพิล์มเซลฟ์รีโคเนียมออกไซด์ที่ขัดตราไนโตรเจนต่างๆ



รูปที่ 6 เมasuredค่าแบบพลังงานของไฟฟ้าเชื่อมอิเล็กทรอนิกส์ที่หัวไนลอนแก้วสีสักคราฟื้นเด่นส่อง

รูปที่ 6 แสดงค่าแบบพลังงานของไฟฟ้าเชื่อมอิเล็กทรอนิกส์ที่หัวไนลอนแก้วสีสักคราฟื้นเด่นส่อง ($\alpha_{UV} = A \lambda^{-\rho} (hv - E_g)$, เมื่อ $\rho = 2$ (direct optical band gap) (Henriksen and Jansen, 1991) พนัก
แม่เหล็กพลังงาน (E_g) ของไฟฟ้าเชื่อมอิเล็กทรอนิกส์ในงานนี้จึงเท่ากับประมาณ 4.18 eV สำหรับทุกค่าซึ่งควรจะ
ปฏิสอดคล้องกัน

สรุปผลการวิจัย

งานวิจัยนี้ได้ศึกษาผลของการเชื่อมแก้วสักคราฟื้นเด่นต่อโครงสร้างผลึกและสมบัติทางแสงของไฟฟ้า
เชื่อมอิเล็กทรอนิกส์ที่หัวไนลอนแก้วสีสักคราฟื้นเด่น ด้วยรัมโคค็อก แมกนีตอร์ชัน ลปตเตอร์วิง ผลการศึกษาพบว่าอัตราไฟฟ้าให้แก่
แก้วสักคราฟื้นเด่นที่ใช้ในการเชื่อมมีผลต่อโครงสร้างผลึกและสมบัติทางแสงของไฟฟ้า เชื่อม เมื่อไฟฟ้าเชื่อมเริ่มเพิ่ม
ขึ้นไปด้วยอัตราที่คงที่แล้วค่าอัตราไฟลัมมีลดลงเรื่อยๆ เนื่องจากไฟฟ้าเชื่อมเริ่มเพิ่มขึ้นไปด้วยอัตราที่คงที่แล้ว
แต่ว่ารับสัมภาระของไฟฟ้าเชื่อมจะเพิ่มขึ้นตามอัตราที่คงที่แล้ว ที่พิเศษมากคือต่ำกว่า 500 นา ซึ่งแสดงถึงค่าตัวแปรที่กันไฟ
(i_0) ประมาณ 2.0 และค่าตัวแปรที่กันความตับสูญ (A) อยู่ระหว่าง 0.0007 ถึง 0.0021 สำหรับแก้วสักคราฟื้นเด่น
มีค่าประมาณ 4.18 eV

เอกสารอ้างอิง

- Choi, H.S., K.S. Seol, D.Y. Kim, J.S. Kwak, C.S. Son and I.H. Choi. 2005. Thermal treatment effects on interfacial layer formation between ZrO_2 thin films and Si substrates. *Vacuum* 80: 310-316.
- Henri, J. and F. Jansen. 1991. Electronic structure of cubic and tetragonal zirconia. *Physical Review B* 43: 7267-7278.
- Swanepoel, R. 1983. Determination of the thickness and optical constants of amorphous silicon. *Journal of Physics E* 16: 1214-1222.
- Wu, K.R., J.J. Wang, W.C. Liu, Z.S. Chen and J.K. Wu. 2006. Deposition of Graded TiO_2 films Featured both Hydrophobic and Photo-Induced Hydrophilic Properties. *Applied Surface Science* 255: 5829-5838.
- Zhao, S., F. Ma, K.W. Xu and H.F. Liang. 2008. Optical properties and structural characterization of bias sputtered ZrO_2 films. *Journal of Alloys and Compounds* 453: 453-457.
- Zhao, X.T., K. Sakka, N. Kihara, Y. Takada, M. Arita and M. Masuda. 2005. Structure and Photo-Induced Features of TiO_2 Thin Films Prepared by RF Magnetron Sputtering. *Microelectronics Journal* 36: 549-551.



มหาวิทยาลัยเกษตรศาสตร์

ขอรับรองว่าผลงานวิจัย

เรื่อง

ผลของอัตราไฟลแก๊สออกซิเจนต่อโครงสร้างและสมบัติทางแสงของฟิล์มบาง
เชอร์โคเนียมออกไซด์ที่เคลือบด้วยวารี ดีซี รีแอคตีฟ เมกนีตรอน สปีตเตอริง

โดย

จินดาวรรณ ธรรมบุรีชา นิรันดร์ วิทิตอนันต์
และสุรศิษฐ์ ไชยคุณ

ได้ผ่านการพิจารณาจากคณะกรรมการผู้ทรงคุณวุฒิ

สาขาวิทยาศาสตร์

และได้นำเสนอในการประชุมทางวิชาการของมหาวิทยาลัยเกษตรศาสตร์ ครั้งที่ 49
ระหว่างวันที่ 1 - 4 กุมภาพันธ์ 2554

จันทร์

(รองศาสตราจารย์ ดร.พนิช เข็มห้อง)

รองอธิการบดีฝ่ายวิชาการ

ประธานคณะกรรมการดำเนินงานจัดประชุมทางวิชาการ ครั้งที่ 49

ผู้ทรงคุณวุฒิภายในมหาวิทยาลัยเกษตรศาสตร์
สาขาวิทยาศาสตร์

ภาควิชาคนเมืองกาล代 ศอนะวิทยาแห่งประเทศไทย

ជ្រើនទំនាក់ទំនងរបស់ការបណ្តុះបណ្តាលសាខាអាស៊ាន
សាខាអាស៊ាន

- | | | |
|------------|-----------|---|
| 1. ყუთინი | გარემოება | ზრავის კონკურენცია გარემოების უზრუნველყოფის და მიმღები მიზანის დროის გადასახრის შემთხვევაში |
| 2. ტენიანი | გარემოება | ზრავის კონკურენცია გარემოების უზრუნველყოფის და მიმღები მიზანის დროის გადასახრის შემთხვევაში |
| 3. მარჯონი | გარემოება | ზრავის კონკურენცია გარემოების უზრუნველყოფის და მიმღები მიზანის დროის გადასახრის შემთხვევაში |
| 4. იუსტი | გარემოება | ზრავის კონკურენცია გარემოების უზრუნველყოფის და მიმღები მიზანის დროის გადასახრის შემთხვევაში |